

# ارائه الگوریتمی جدید برای مدلسازی پیشرو سه بعدی در مگنتوتلوریک

سید محمد ابطحی<sup>\*</sup>، نادر فتحیان پور<sup>\*\*</sup> و حمید هاشم الحسینی<sup>\*\*\*</sup>

دانشکده مهندسی معدن، دانشگاه صنعتی اصفهان

(دریافت مقاله: ۱۳۸۷/۱۲/۳ - دریافت نسخه نهایی: ۱۳۸۹/۶/۲۹)

چکیده -

واژگان کلیدی :

## A new algorithm for three dimensional magnetotelluric forward modeling

S. M. Abtahi, N. Fathianpour and H. Hashamalhosseini

Department of mining, Isfahan university of technology

**Abstract:** Due to the need for greater depth of investigation in petroleum and geothermal exploration and the complexity of the associated geological models often involved in any interpretation of magnetotelluric data, it would be inevitable to employ a

\* - کارشناس ارشد      \*\* - دانشیار

more robust and effective 3-D forward modeling engine capable of incorporating complex geological models. The newly developed algorithm presented in this paper uses the conventional finite difference technique of numerical methods but in a non-staggered scheme which enables solving the governing electromagnetic fields with the imposed boundary conditions simultaneously. Through dividing the air and earth half space into discrete blocky model the governing magnetotelluric equations are discretized to form a linear matrix equation which in turn is solved for the unknown magnetic and electric fields iteratively. Because of the frequency dependency of governing magnetic and electric fields and the finite size of the discretized model a number of problems such as oscillating phenomena in the final forward response in the course of solving such boundary value problems are observed. Also it happens that due to the conventional staggered scheme of forming discretized linear equations, a pseudo singularity appears which makes the iterative solvers to diverge. In order to address and remedy for these problems we have introduced an optimum mesh refining scheme to resolve the response oscillation problem. Also through using non staggered formalism which changes the shape of the final discretized matrix equation, it is shown that the pseudo singularity effect could be removed effectively.

**Keywords:** Magnetotelluric method, 3D forward modeling, Non-staggered methods, finite difference, discretization, pseudo-singularity.

مقاومت الکتریکی ویژه ظاهری، اهم متر	$R_{xy}$	بردار میدان (اعم از الکتریکی و مغناطیسی)	A
سرعت زاویه‌ای (رادیان) بر ثانیه	$\omega$	بردار میدان الکتریکی کل، ولت بر متر	E
گذر دهنده مغناطیسی خلا، هانری بر متر	$\mu_0$	بردار میدان الکتریکی اولیه، ولت بر متر	Ep
رسانش الکتریکی زمین فاقد ناهمگنی، موهومتر	$\sigma$	بردار میدان الکتریکی ثانویه، ولت بر متر	Es
اختلاف رسانش الکتریکی زمین فاقد ناهمگنی با حالت فاقد ناهمگنی ، موهومتر	$\sigma_a$	بردار میدان مغناطیسی کل، آمپر بر متر	H
شیب بردار میدان	$\Psi$	بردار میدان مغناطیسی اولیه، آمپر بر متر	Hp
تابع پتانسیل میدان برداری	$\Phi$	بردار میدان مغناطیسی ثانویه، آمپر بر متر	Hs
ضریب جزء موهومی	$i$	عدد موج برای زمین فاقد ناهمگنی، عدد مختلط (توضیح در متن)	k
		عدد موج برای زمین دارای ناهمگنی، عدد مختلط (توضیح در متن)	ka

از آنجا که در اکثر موارد زمین واقعی تحت مطالعه دارای پیچیدگی‌های ذاتی است لذا انجام مدلسازی‌های یک بعدی و یا حتی دو بعدی برای نیل به مقاصد اکتشافی کافی نبوده و نیاز به انجام مدلسازی سه بعدی به خوبی احساس می‌شود. ولی به دلیل پیچیدگی‌های محاسباتی موجود در فرایند مدلسازی پیشرو سه بعدی، انجام مدلسازی با مشکلات متعددی مواجه است. لذا تلاشهای زیادی برای تسهیل محاسبات مربوط به مدلسازی پیشرو صورت گرفته است که از آن جمله می‌توان به محاسبات مبتنی بر روش تفاضلات محدود مکی و همکاران (۱۹۹۴) و اسمیت (۱۹۹۶)، روش اجزای محدود وانامیکر و همکارانش (۱۹۸۷)، روش‌های مبتنی بر معادلات انگرال وانامیکر (۱۹۹۱) و

## ۱- مقدمه و سوابق تحقیق

امروزه روش مگنتوتولریک، به دلیل بهره مندی از بیشترین عمق تجسس در بین روش‌های ژئوفیزیکی الکترومغناطیسی و همچنین کم هزینه بودن مراحل جمع آوری داده نسبت به روش‌های لرزه نگاری، از اهمیتی روز افزون در امر پی جویی و اکتشاف منابع زیرزمینی برخوردار است. از جمله این کاربردها می‌توان به اکتشاف منابع هیدروکربوری و ژئوترمال اشاره کرد [۱ و ۲]. انجام مدلسازی معکوس مؤثر و توانمند برای استفاده از داده‌های برداشت شده و تفسیر آنها فرایندی ضروری و اجتناب ناپذیر است، فرایندی که موفقیت آن به طور مستقیم تابعی از صحت و دقت بالای نتایج مدل پیشروست.

در این تحقیق نخست نحوه مدلسازی عددی با بررسی چگونگی ایجاد مش در انجام حل عددی و شرایط مرزی مورد نیاز برای روش‌های حل عددی بررسی می‌شود. در ادامه روش اصلی استفاده شده در تحقیق حاضر یعنی روش تفاضلات محدود سه بعدی به طور کامل تشریح شده و ضمن بررسی مشکلات موجود، تکنیکهای لازم برای حل آنها ارائه شده است.

## ۲- مدلسازی پیشرو مگنتوتولویریک به روش تفاضلات

### محدود

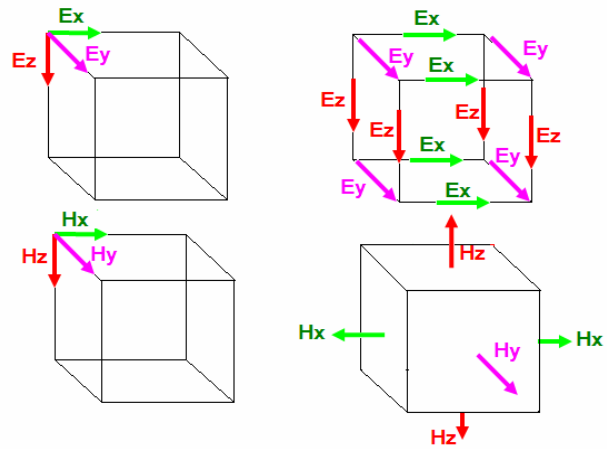
به طور کلی برای انجام مدلسازی پیشرو، توزیع مؤلفه‌های میدان بر روی شبکه مسئله به دو صورت زیر قابل تصور است،

شکل (۱)

در حالت هم مبدأ، شکل (۱- چپ) بر روی هر نقطه واقع بر شبکه هر سه مؤلفه  $x$ ,  $y$  و  $z$  میدان در نظر گرفته می‌شوند اما در حالت غیر هم مبدأ، شکل (۱- راست) مؤلفه‌های  $x$ ,  $y$  و  $z$  میدان منطبق بر هریک از یالهای متوازی مربوط به خود (در شکل (۱) برای میدان الکتریکی) و یا به صورت عمود بر وجوده (در شکل (۱) برای میدان مغناطیسی) در نظر گرفته می‌شوند. بدین ترتیب واضح است همه مؤلفه‌های میدان در یک نقطه حاضر نخواهند بود.

روش ناهم مبدأ نخستین بار توسط مکی همکارانش (۱۹۸۹) برای مدلسازی پیشرو سه بعدی مگنتوتولویریک به کار گرفته شد [۶] که در سالهای (۱۹۹۳) و (۱۹۹۴) بهبود یافت [۷] و از آن زمان مبنای انجام کلیه مدلسازیهای سه بعدی پیشرو مگنتوتولویریک به روش تفاضلات محدود قرار گرفته است. به عنوان مثال می‌توان به روش کورالت و همکارانش (۲۰۰۷) [۸] اشاره کرد.

در روش‌های ناهم مبدأ میدانهای الکتریکی و مغناطیسی به صورت به هم وابسته ظاهر می‌شوند و درواقع با استفاده از یکی از آنها دیگری قابل محاسبه خواهد بود. اما اشکال عمدۀ این روشها عدم امکان ارضای همزمان معادلات مربوط به این دو میدان است [۷]. همچنین خطای محاسبه میدانها به یکدیگر وابسته خواهند بود [۹]. ضمناً به دلیل ماهیّت سه بعدی روش



شکل ۱- تصویر راست نمایش حالت ناهم مبدأ و تصویر چپ حالت هم مبدأ را برای توابع برداری  $E, H$  نشان می‌دهد.

روشهای مبتنی بر استفاده از چند جمله‌ایها پیر آندره چنگ (۱۹۹۹) اشاره کرد [۳ و ۴]. موارد یاد شده پیشگامان مدلسازی سه بعدی پیشرو مگنتوتولویریک محسوب می‌شوند و تلاش برای بهینه ساختن محاسبات عددی مورد نیاز براساس روش‌های فوق همچنان در دستور کار محققان قرار دارد [۵].

از میان روش‌های فوق، روش‌های تفاضلات محدود به دلیل ساده بودن الگوریتم گسته‌سازی برای تشکیل ماتریس ضرایب و قابلیت ساخت مدل‌های پیچیده از اهمیت بالایی برخوردار است. مکی و همکارانش (۱۹۹۶) با استفاده از روش گسته‌سازی ناهم مبدأ ارائه شده توسط یی (۱۹۵۶) الگوریتم مدلسازی پیشرو سه بعدی برای مگنتوتولویریک را ارائه کردند. از جمله مهمترین مشکلات این روش عدم امکان ارضای کامل معادلات ماکسول و عدم امکان استفاده از الگوریتم یاد شده در حالت دو بعدی به دلیل استفاده از انگرالهای سه بعدی است. لازم به ذکر است که موثرترین روش‌های مدلسازی پیشرو دو بعدی مگنتوتولویریک از طریق استفاده از روش اجزای محدود و در حالت هم مبدأ حاصل شده‌اند [۶ و ۷].

با توجه به موارد یاد شده، این تحقیق به ارائه روشی نو در این خصوص می‌پردازد. روش حاضر بر پایه تفاضلات محدود در حالت هم مبدأ اجرا شده و در طی آن از الگوریتمی برای دستیابی به پاسخ کاملاً سه بعدی مگنتوتولویریک استفاده می‌شود.

ناهمگن است.  $k$  و  $k_a$  نیز به صورت زیر تعریف می‌شوند:

$$k = \sqrt{i\omega\mu_0\sigma}$$

$$k_a = \sqrt{i\omega\mu_0\sigma_a}$$

**۲-۱- گسته‌سازی مورد نیاز برای تفاضلات محدود هم مبدا** به طور کلی دو روش برای گسته‌سازی در روش تفاضلات محدود تاکنون پیشنهاد شده است، نخست روش گسته‌سازی بلوکی ارائه شده توسط اریستاگلیو و هامون (۱۹۸۳) که از نظر مبنایی دارای ماهیتی نظری اجزای محدود است و دوم روش گسته‌سازی نقطه‌ای که روشی ساده‌تر و متداول در اکثر گسته‌سازی‌هاست [۵ و ۱۰].

گسته‌سازی به روش بلوکی یاد شده به کمک انتگرال‌گیری از روابط دیفرانسیلی امکان‌ذیر بوده و در حالت دو بعدی به خوبی مورد استفاده قرار گرفته است [۱۰]. همچنین اگر در مسائل شرط نیومان ظاهر شوند گسته‌سازی بلوکی یکی از بهترین حالتها برای پوشش دادن چنین شرط‌هایی خواهد بود. اما در گسته‌سازی بلوکی در حالت سه بعدی ممکن است بعضی از مؤلفه‌های مربوط به مشتقات ظاهر شده در معادلات (۳) و (۴) صفر شوند [۱۱]. در روش گسته‌سازی نقطه‌ای چنین مشکلی ایجاد نخواهد شد. روش گسته‌سازی نقطه‌ای بر مبنای ارائه سری تیلور و محاسبه تخمینی از تابع با حذف قسمتهايی از این سری استوار است که به عنوان مثال گسته‌سازی جمله سمت چپ معادله (۳) برای مؤلفه  $\mathbf{H}$  به صورت ارائه شده در پیوست انجام شده است.

لازم به ذکر است طراحی مش مورد نیاز برای گسته‌سازی نیز بر اساس پیشنهادات ارائه شده توسط ویبور (۱۹۷۴) و وانامیکر (۱۹۸۷) صورت گرفته و برای هوا نیز حداقل ۱۰ لایه برای حذف اثر قطبیدگی مغناطیسی لحاظ شده است [۱۲ و ۱۳].

### ۳- شرایط مرزی لازم برای انجام مدلسازی پیشرو و مگنتوتولوریک

در حالت کلی دو دسته شرط برای حل مسائل مگنتوتولوریک

حل، اصولاً امکان استفاده از این روش‌ها در حالت دو بعدی میسر نیست [۶ و ۷].

اما در حالت هم مبدا این امکان وجود دارد که بتوان مقادیر مربوط به میدانها را به طور مستقل از یکدیگر محاسبه کرد و در هر نقطه از محیط مسئله کلیه مؤلفه‌های میدان را به دست آورد. به دلایل یاد شده، برای نخستین بار، این روش مبنای مدلسازی پیشرو سه بعدی مگنتوتولوریک به روش تفاضلات محدود در تحقیق حاضر قرار گرفته است.

**۱-۲- فرمولبندی مدلسازی پیشرو مگنتوتولوریک هم مبدا** در حالت هم مبدا لازم است روابط پایه مورد نیاز برای گسته‌سازی هریک از میدانها به شکلی مستقل به دست آید. به عنوان مثال به دو رابطه ذیل که منتج شده از معادلات ماکسول اند اشاره می‌شود [۹]:

$$\nabla \times \nabla \times \mathbf{E} = i\omega\mu_0\sigma\mathbf{E} \quad (1)$$

$$\nabla \times \left( \frac{1}{\sigma} \nabla \times \mathbf{H} \right) = i\omega\mu_0\mathbf{H} \quad (2)$$

در حالت کاملتر این امکان وجود دارد که میدانهای اولیه و ثانویه به صورت مجزا از یکدیگر مورد بررسی قرار گیرند. این امر در نهایت به ارائه تحلیلی بهتر از نتایج مسئله خواهد انجامید. از این رو، با فرض تخت بودن موج الکترومغناطیسی اولیه، روابط ارائه شده توسط هامن (۱۹۸۳) مبنای مدلسازی در تحقیق حاضر قرار گرفته است [۵]:

$$\nabla^2 \mathbf{E}_s + \nabla \left( \mathbf{E}_s \cdot \frac{\nabla \sigma}{\sigma} \right) + k^2 \mathbf{E}_s = -k_a^2 \mathbf{E}_p - \nabla \left( \mathbf{E}_p \cdot \frac{\nabla \sigma_a}{\sigma} \right) \quad (3)$$

$$\begin{aligned} \nabla^2 \mathbf{H}_s + \sigma (\nabla \times \mathbf{H}_s) \times \nabla \left( \frac{1}{\sigma} \right) + k^2 \mathbf{H}_s \\ = -k_a^2 \mathbf{H}_p - \sigma \nabla \left( \frac{\sigma_a}{\sigma} \right) \times \mathbf{E}_p \end{aligned} \quad (4)$$

که در آنها  $\mathbf{E}$  و  $\mathbf{H}$  به ترتیب معرف میدانهای الکتریکی و مغناطیسی،  $\sigma$  معرف سرعت زاویه‌ای،  $p$  و  $s$  به ترتیب معرف مؤلفه‌های اولیه و ثانویه،  $a$  گذردهی مغناطیسی خلا،  $\sigma_a$  معرف رسانش الکتریکی و  $\sigma_p$  معرف اختلاف رسانش الکتریکی در هر نقطه از محیط مسئله با همان مقدار در حالت حذف توده

روشهای حل مستقیم در حال حاضر با توجه به پرداشگرهای فعلی رایانه‌های شخصی توصیه نمی‌شوند چرا که در انواع مختلف این روش حل یک معادله ماتریسی بسیار بزرگ که حاصل مدلسازی پیشرو سه بعدی مگنتوتولوریک است نیازمند تعریف اعداد بسیار بزرگ برای ذخیره سازی حاصل‌ضربهای مورد نیاز برای روشهای مستقیم در حافظه رایانه خواهد بود. همچنین در صورت حضور خطأ فقط در یکی از رایه‌ها این خطأ به صورت حاصل ضرب به سایر رایه‌های مربوط به اعمق بیشتر تسری یافته و جواب مسئله را به کلی دگرگون می‌سازد<sup>[۶]</sup>.

روشهای تکرار، عمومی‌ترین ابزار برای حل مدلسازی‌های مگنتوتولوریک‌اند و مزایای اصلی آنها سرعت بالا و احتمال کمتر برای انتشار خطأ، هستند. اما مشکل اصلی در کلیه این روشها واگرایی در مسئله است. در میان روشهای استفاده شده در این تحقیق، روشهای ژاکوبی و گوس-سایدل به کلی واگرایی شده و فاقد نتیجه خواهند بود. روشهایی که مقاومت بهتری نسبت به واگرایی از خود بروز دادند از خانواده روشهای گرادیان مزدوچ (CG) هستند. از مهمترین روشهای این خانواده می‌توان به Bi-CG، Bi-CGstab و BiCGstab(2) (حالت بهبود یافته BiCGstab) اشاره کرد، شکل (۲) [۱۵].

در این بین روش BiCGstab، از نظر همگرایی دارای وضعیتی نامعلوم است و امکان دارد رفتاری بهتر از Bi-CG از خود نشان دهد و یا اینکه کاملاً واگرا شود. لازم به ذکر است در کلیه مواردی که در تحقیق حاضر از روش BiCGstab استفاده شد، واگرایی در پاسخها شدیدتر از موارد مشابه با روش Bi-CG بوده است. روش BiCGstab(2) پایداری قابل توجهی از خود نشان داد اما به دلیل نیاز به عملیات پیچیده تر، زمان بیشتری را به خود اختصاص می‌دهد. به طور مثال در یک مورد ۴۰۰ مرتبه تکرار را در مدت ۷۰ دقیقه به اتمام رساند اما در عین پایداری به همگرایی موردنظر منجر نشد.

برای افزایش سرعت همگرایی مسئله پیش شرط سازهایی معرفی شده‌اند که کارآمدترین آنها پیش شرط ساز استفاده شده

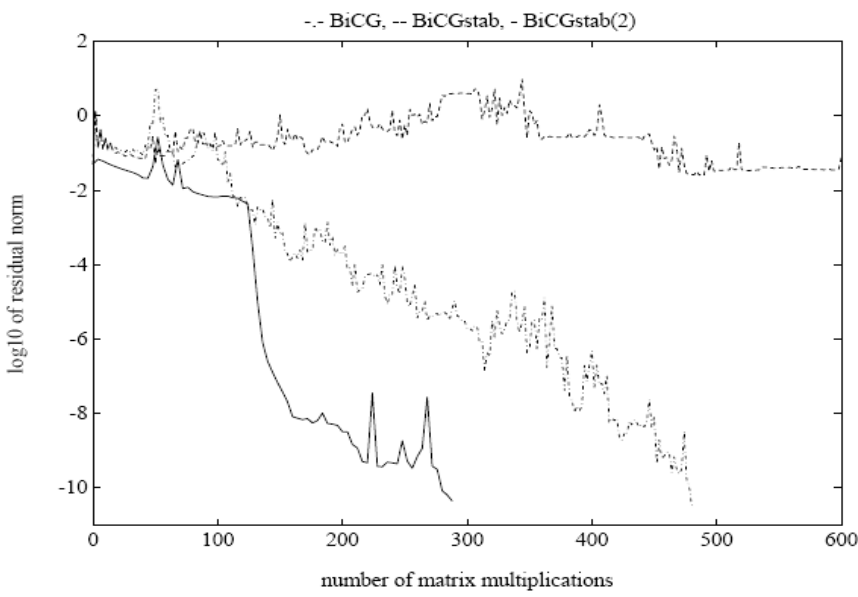
قابل تصور است. نخست شرط حاکم بر مرزهایی که محیط‌های با مقاومت ویژه متفاوت را از هم تفکیک می‌کنند و دوم شرایطی که در مرزهای اطراف شبکه مسئله حاکم‌اند. شرط‌های مربوط به مرزهای دارای تغییر در مقاومت ویژه الکتریکی با استفاده از روابط ارائه شده توسط تلفورد و همکاران (۱۹۷۴) تامین می‌شوند [۱۲]. اما در مورد مرزهای اطراف در مدلسازی‌های پیشرو مگنتوتولوریک استفاده از شرط دیریکله امری معمول است [۴ و ۱۳]. از این رو به طور دلخواه از شرط مرزی میدان ثانوی برابر صفر در مرزهای شبکه استفاده شده است که این امر مستلزم گسترش بسیار زیاد ابعاد مسئله تا ۸ برابر عمق پوسته‌ای می‌شود (عمق پوسته برابر است با  $\sqrt{\frac{1}{\sigma_{\text{freq}} \cdot 500}}$ ).

البته برای کاستن از ابعاد فضای مسئله مکی و همکارانش از مدلسازی معکوس دو بعدی در چهار پروفیل دو به دو متعامد در مرزهای جانبی استفاده کرده‌اند که از جمله محدودیت این راه حل، نیاز به در دست بودن داده‌های برداشت صحرایی محسوب می‌شود. همچنین لزوماً فرض زمین دو بعدی در مرزهای نزدیک صحیح نخواهد بود. گرچه استفاده از روشهای چند شبکه‌ای نیز پیشنهاد شده‌اند [۷].

در تحقیق حاضر فرض بر استفاده از زمین همگن و شرط مرزی صفر برای میدانهای ثانویه است و مقاومت الکتریکی ویژه هوا نیز مقدار  $10^6$  اهم متر لحاظ شده است. برای اعمال کلیه شرایط مرزی از روش پیشنهاد شده توسط هوبرن (۱۹۷۵) با اعمال ضرب یک عدد بزرگ دلخواه در کلیه مقادیر مربوط به مرزها در ماتریس ضرایب و بردار مقادیر استفاده شده است [۱۴].

#### ۴- روش حل معادله ماتریسی نهایی

پس از تشکیل معادله ماتریسی نهایی و تامین شرایط مرزی، امکان حل معادله فراهم می‌شود. در حالت کلی دو دسته روشهای مستقیم و روشهای تکرار، قابل استفاده‌اند. توضیح آنکه در این بررسی کلیه روشهایی که می‌توانند به محاسبه ماتریس معکوس منجر شوند، جزو روشهای مستقیم طبقه‌بندی شده‌اند.



شکل ۲- پایداری روش‌های خانواده گرادیان مزدوج با تکرار

ایدئال  $\nabla\phi$  باید برابر با صفر باشد اما به دلیل اینکه دارای مقدار است تابع  $\Phi$  به صورت زیر تعریف می‌شود:

$$\nabla \cdot \nabla \phi = \psi$$

با به دست آوردن  $\Phi$  می‌توان تابع  $A$  را به شکل زیر اصلاح کرد:

$$A_{\text{new}} = A_{\text{old}} - \nabla \phi$$

لذا در هر مرحله از عملیات به شکل قابل توجهی بر آهنگ همگرایی مسئله افزوده می‌شود، شکل (۳).

## ۵- بررسی مشکلات عمدۀ مدلسازی و ارائه

### راهکارهای اصلاحی

#### ۱- ایجاد تکینگی کاذب

از جمله مشکلاتی که در انجام مدلسازی بروز می‌کند، وجود حالت تکینه در ماتریس ضرایب مسئله است. این مسئله از آنجا که هیچ الکترود جریان (نظیر حالت جریان مستقیم) یا عامل حقیقی ایجاد تکینگی دیگری حضور ندارد، عجیب به نظر می‌رسد. در واقع در مسئله سه بعدی پیش رو MT، هیچ دو سطر با ستون با مقادیر قدر مطلق تحقیقاً مساوی وجود ندارد و کلیه سطرهای و ستونها بردارهای مستقل خطی از یکدیگرند. علاوه بر

توسط مکی و همکارانش تحت عنوان HYPRE است که خود مستلزم تشکیل ماتریس معکوس است [۶و۷]، لذا در حل مسائل بسیار بزرگ استفاده از آن میسر نیست. پیش شرط ساز دیگری که توسط اسمیت (۱۹۹۶) معرفی شده است نیز در مواردی که فواصل گرهی زیاد باشد بازدهی خود را از دست می‌دهد [۷]. لذا عملاً استفاده از هر دو پیش شرط ساز نیازمند کاهش بعد مسئله است.

#### ۴- ماهیت واگرایی و راهکارهای مقابله با آن:

چنانچه اشاره شد، مشکل عمدۀ پیش رو بر سر به دست آوردن جواب در مدلسازی پیش رو سه بعدی مگنتوتولوریک، ایجاد واگرایی در روش حل مسئله به روش‌های تکرار است [۷ و ۹]. برای حذف واگرایی روابط زیرباید تامین شوند [۹]:

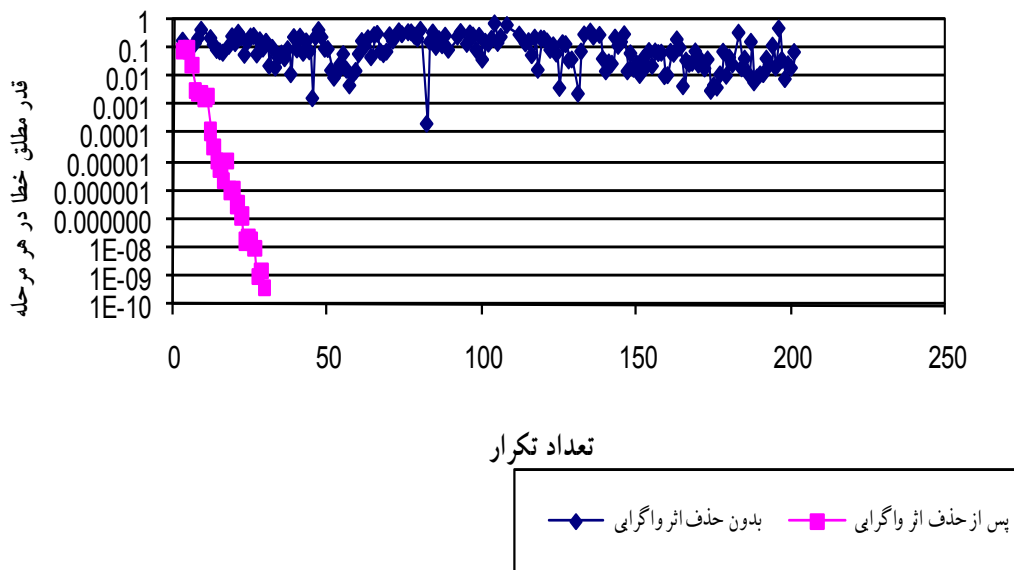
$$\nabla \cdot H = 0 \quad (5)$$

$$\nabla \cdot (\sigma E) = 0 \quad (6)$$

برای ارضای روابط فوق می‌توان تابعی را برای حذف واگرایی به صورت ذیل فرض کرد.

$$\psi = \nabla \cdot A$$

که  $A$  می‌تواند برابر  $H$  یا  $\sigma E$  باشد. حال می‌دانیم در حالت



شکل ۳- نمایش تاثیر حذف واگرایی در کاهش تعداد تکرار [۱۱]

عنصر مجاور سطربی آن باشند:

$$\dots + H_{s_{i,j,k}}^x \left( \frac{-1}{\Delta x_{i+1}} + \frac{-1}{\Delta x_i} \right) \left( \frac{\Delta y_j + \Delta y_{j+1}}{2} \right) \left( \frac{\Delta z_k + \Delta z_{k+1}}{2} \right)$$

$$+ H_{s_{i+1,j,k}}^x \left( \frac{1}{\Delta x_{i+1}} \right) \left( \frac{\Delta y_j + \Delta y_{j+1}}{2} \right) \left( \frac{\Delta z_k + \Delta z_{k+1}}{2} \right) + \dots$$

با توجه به ضرایب  $H_{s_{i,j,k}}^x$  و  $H_{s_{i+1,j,k}}^x$ ، مشاهده می‌شود

که ضرایب مربوطه می‌توانند بسیار مشابه باشند، اگر مقادیر  $\Delta x_i$  نسبت به  $\Delta x_{i+1}$  بسیار بزرگ‌تر باشند یا اینکه این مقادیر با  $\Delta y$  ها و  $\Delta z$  ها مساوی شوند. به آسانی می‌توان حالتی را تصور کرد که ضرایب دو مقدار فوق، بسیار به هم نزدیک شوند. به خصوص این مسئله در صورت استفاده از گسسته‌سازی‌های پیشرو پسرو زیاد اتفاق می‌افتد.

دلیل اینکه مقادیر  $\Delta x_i$  و  $\Delta x_{i+1}$  می‌توانند با هم اختلاف زیادی داشته باشند، تنها در نحوه استفاده از مش نهفته است.

از آن جا که برای ایجاد مش برای کوچک ساختن حجم ماتریس، از توانهای لگاریتمی با افزایش گامهای بزرگ برای عدد ۱۰ استفاده شده است (با آهنگ افزایشی در حد ۷۵٪) ایجاد چنین مسئله‌ای قهری خواهد بود. البته این آهنگ افزایش به علت نیاز به کوچک ساختن مسئله و کاستن از

این عامل ایجاد تکینگی، از قبیل الکترودهای بارگذاری نیز در مسائل مدلسازی مگنتوتولوریک حضور ندارند. واقعیت آن است که گرچه هیچ دو بردار وابسته خطی در ماتریس  $Ax = b$  قابل شناسایی نیست، ولی رفتار تکینه خود را در حین انجام عملیات حل معادله آشکار می‌کند.

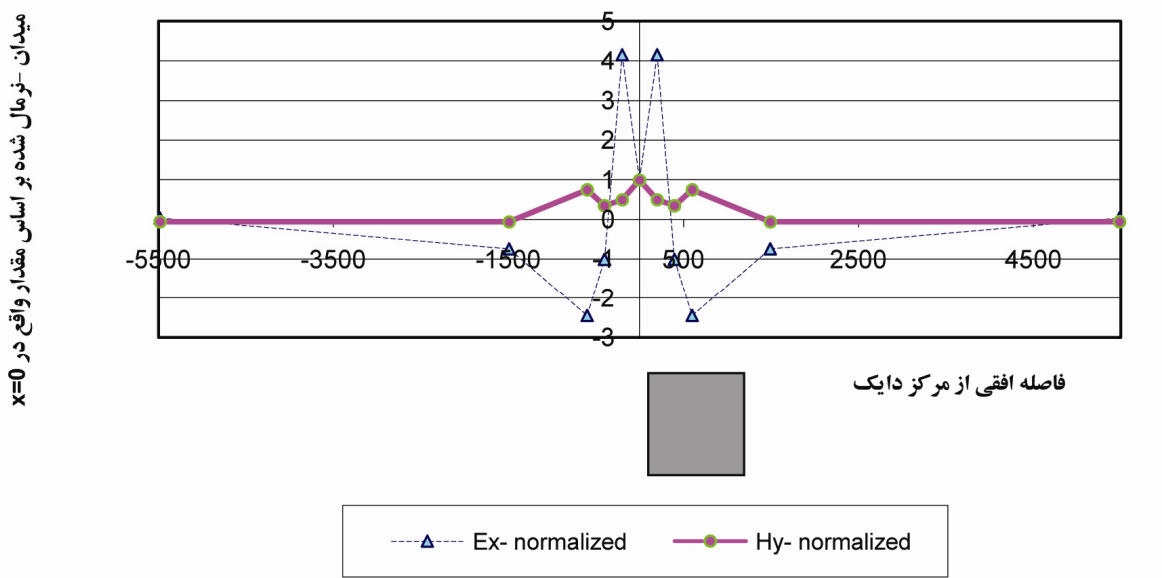
به طور مشخص ایجاد رفتار تکینه در ماتریس‌های با دو یا چند ستون و یا سطر مشابه اتفاق می‌افتد. در مورد فوق پس از بررسی مشخص شد که در ماتریس تنک ضرایب بسیاری از غیر صفر، کوچکتر از آن هستند که تأثیری بر حل معادله بگذارند همچنین بعضی از ضرایب واقع بر قطرها از نظر مقدار حقیقی مشابه عنصر مجاور خود در سطر یا ستون‌اند به عنوان مثال موارد زیر امکان وقوع دارند:

$$(الف) |a_{ii}| \approx |a_{i,i+1}|$$

$$(ب) |a_{ii}| \approx |a_{i+1,i}|$$

برای رفع این مشکل، مراجعه به چگونگی مدلسازی صورت گرفته چاره ساز شد:

برای مثال در مورد میدان  $H$ . اگر روابط زیر نمایش قسمتی از رابطه جبری متنبی از گسسته‌سازی برای ضرایب روی قطر و



شکل ۴- نمایش شدت تغییر پذیری میدانهای الکتریکی و مغناطیسی در سمت ۰ با فاصله [۱۱]

استفاده از مش تظریف شده این مشکل را کاهش می دهد اما این تظریف به معنای بزرگتر شدن ابعاد مسئله و افزایش زمان مورد نیاز برای حل مسئله است.

ابعاد ماتریس ضرایب صورت گرفته است. در نهایت این مشکل با کاستن از آهنگ افزایش ابعاد مش و استفاده از گسته سازی مرکزی مرتفع شد.

## ۶- ارائه نمودار جریانی مدلسازی پیشرو سه بعدی مگنتوتولوریک

با توجه به مباحث ارائه شده، می توان نمایه کلی نمودار جریانی مدلسازی پیشرو سه بعدی مگنتوتولوریک را به صورت زیر نشان داد، شکل (۵).

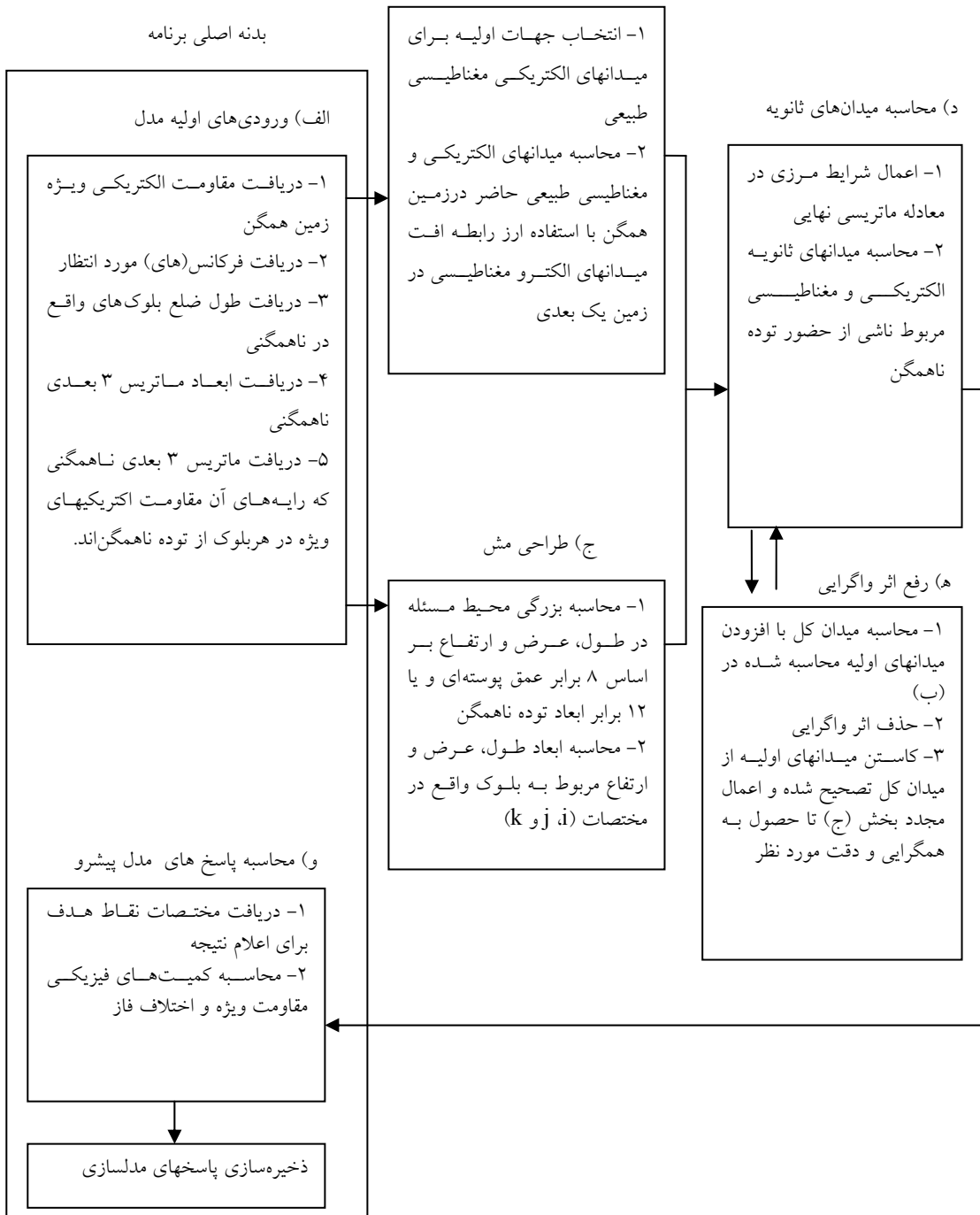
## ۷- مقایسه نتایج به دست آمده از حالت دو بعدی با حالت سه بعدی

با به کارگیری مدل دایکی که دارای پهنای ۵۰۰ متر، بلندی ۱۰۰۰ متر در عمق ۱۲۵ متری، که مقاومت الکتریکی آن ۲ اهم متر بوده و در یک زمین همگن به مقاومت ۱۰۰ اهم متر واقع است، پاسخهای زیر برای فرکانس دلخواه ۱ هرتزی به دست آمده است، شکل (۶). فرض شده است که امتداد تووده در

## ۵- وجود آشفتگی متناوب در پاسخهای مدل

استفاده از مدلسازی پیشرو به روش هم مبدا، مشکلات خاص خود را ایجاد می کند. یکی از عمدترين این مسائل خود را به صورت آشفتگی منظم در رفتار میدانها نشان می دهد. دامنه تغییرات مورد نظر در مورد میدان الکتریکی شدیدتر است. در صورت نرمال سازی مقادیر میدانهای  $E_x$  و  $H_y$ - به مقادیر همین میدانها در نقطه واقع بر فراز مرکز یک دایک قائم با امتداد ۴۰۰ متر، ضخامت ۱۰۰۰ متر و بلندی ۲۰۰۰ متر که در عمق ۵۰۰ متری مدفون باشد- به وضوح آشکار می شود که تغییرات در میدان الکتریکی و در نتیجه آشفتگی حاصل از آن بسیار شدیدتر از تغییرات در مورد میدان مغناطیسی است،علاوه بر آن تغییر در میدانهای الکتریکی و مغناطیسی از نظر جهت اختلاف دارند، شکل (۴).

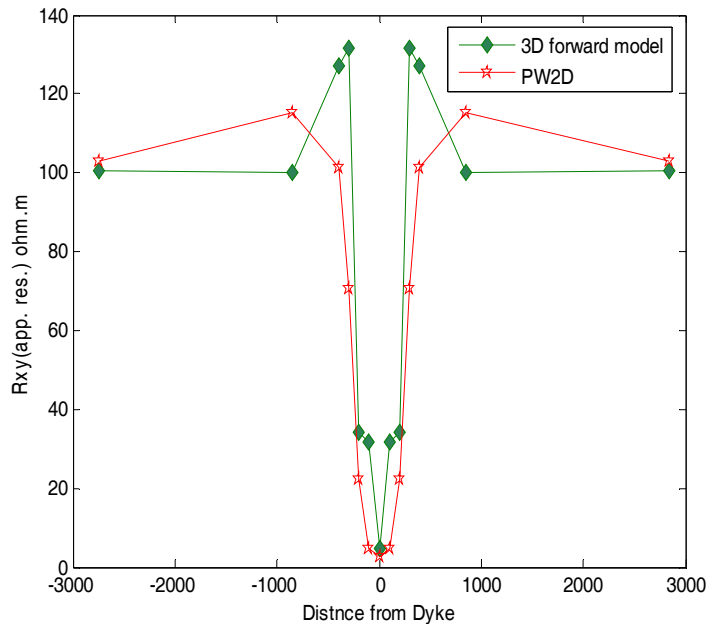
ب) محاسبه میدان‌های اولیه



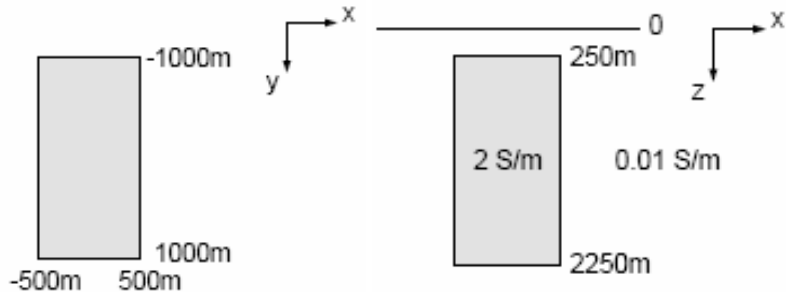
شکل ۵- نمایه کلی نمودار جریانی مدل‌سازی پیشرو سه بعدی مگنتوتلوریک

به دست آمده است<sup>[۴]</sup>. با افزایش امتدادی توده مزبور، نتایج تدریجاً به نتایج حالت دو بعدی نزدیک می‌شوند<sup>[۱۱]</sup>.

۴۰۰۰ حالت دو بعدی نا محدود بوده و در حالت سه بعدی PW2D برابر متر است، پاسخهای مدل دو بعدی به کمک برنامه PW2D



شکل ۶- مقایسه پاسخهای مقاومت الکتریکی مدلسازی سه بعدی پیشرو ( $\rho_{xy}$ ) با پاسخ مدل دو بعدی (در مدل عرضی مغناطیسی، TM) در فرکانس برابر ۱Hz [۱۱].



شکل ۷- نمای افقی (راست) و قائم (چپ) از یک توده نمونه برای مدلسازی [۱۶].

صورت گرفته در تحقیق حاضر است.

#### ۸- مقایسه نتایج حاصل از مدلسازی سه بعدی پیشرو

#### با نتایج مدل سازی سه بعدی روش مکی (۱۹۹۴)

برای توده‌ای به شکل مکعب مستطیل با پهنای ۱۰۰ متر، طول ۲۰۰۰ متر، ارتفاع ۲۰۰۰ متر، واقع در عمق ۲۵۰ متری با مقاومت ویژه الکتریکی  $0.5 \text{ ohm.m}$ ، زمین درونگیر همگن و مقاومت ویژه الکتریکی فرض شده برای آن  $100 \text{ ohm.m}$  است. فرکانس مورد استفاده ۱ هرتز است شکل (۷) [۱۶]. شباهت روند تغییرات مؤلفه حقیقی امپدانس و مقادیر آن در هر دو روش، تاییدی بر صحت نتایج حاصل از مدلسازی سه بعدی

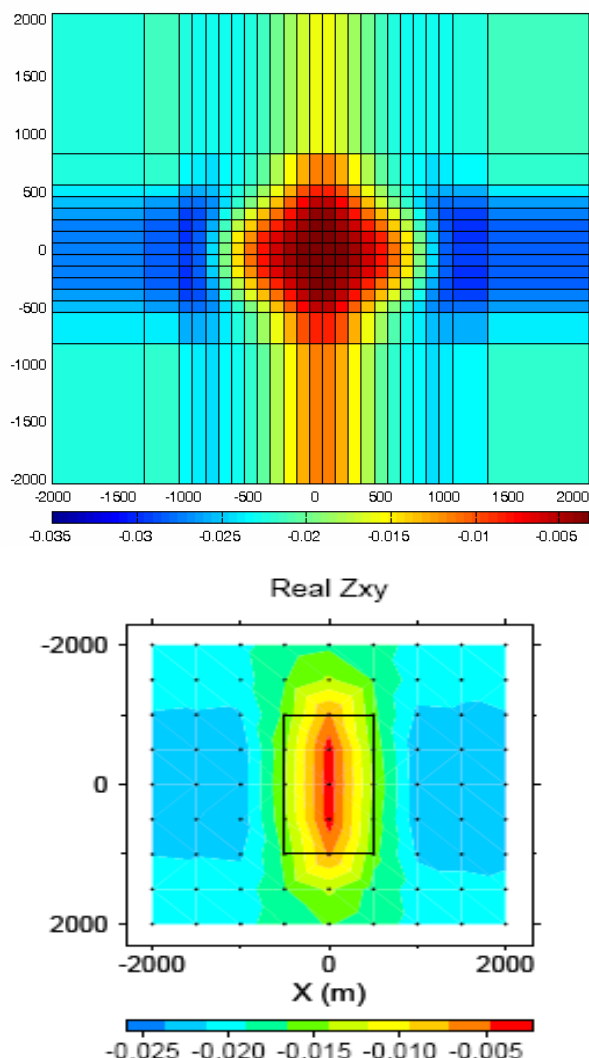
#### ۹- ارائه نتایج و پیشنهادها

انتخاب نوع گستره‌سازی برای استفاده از روش تفاضلات محدود دارای اهمیت بسیار زیادی است به طوری که استفاده از روش بلوکی اریستاگلیو و هامن به علت وجود ابهام در تعریف گرادیان مکانی مقاومت الکتریکی در حالت سه بعدی، امکانپذیر نیست. همچنین بهتر است انتخاب روابط جبری گستره‌سازی به صورتی باشد که احتمال وقوع تکینگی مصنوعی در حل

حداقل برسانند. برای مثال استفاده از نتایج مدلسازی معکوس دو بعدی چنین امکانی را فراهم می کند، اما به علت وجود اثرات آشفتگی استفاده از روش‌های چند شبکه‌ای توصیه نمی شود چرا که اثر آشفتگی در پاسخهای شبکه اولیه در صحت پاسخهای شبکه‌های کوچکتر در مراحل بعد تاثیر می گذارد. لذا در صورت تمایل به استفاده از روش‌های چند شبکه‌ای، نمی توان از روابط معادلات ماسکول به صورت هم مبددا استفاده کرد و در این حالت تنها استفاده از روش ناهم مبددا توصیه می شود.

روابط مربوط به حذف واگرایی در روش‌های تکرار حل عددی مسئله سه بعدی پیشرو مگنتوتولوریک بایستی به کار گرفته شوند، در غیر این صورت هیچ روش تکرار قادر به تامین همگرایی مسئله نخواهد بود. در مجموع روش Bi-CG که در هر تکرار آن عملیات حذف واگرایی صورت گرفته باشد به عنوان بهترین روش در میان روش‌های تکرار استفاده شده در این تحقیق مشخص شد. استفاده از روش‌های مستقیم برای حل مسئله عملا با پردازشگرهایی که فعلا در دسترس است محدود نیست، گرچه احتمال دارد در آینده با پیشرفت تکنولوژی‌های محاسبه گرها، این امر میسر شود.

همچنین با توجه به ضعفهایی که در پیش شرط سازهای ارائه شده نظیر عدم کارایی در شبکه‌های داری فواصل گرهی بزرگ (روش اسمیت) و یا نیاز به ارائه ماتریس معکوس (در روش مکی) عنوان شد، زمینه تحقیق برای ارائه پیش شرط سازهای مؤثر و سریع که حتی الامکان دارای ساختاری ساده بوده و برای شبکه‌های مختلف کارامد باشند، فراهم است.



شکل ۸- پاسخ مدلسازی پیشرو سه بعدی به روش تحقیق حاضر (بالا) و مکی (۱۹۹۴) (پایین) برای توده شکل (۷)، برای مؤلفه حقیقی امپدانس، واحدها بر حسب اهم متند [۱۱ و ۱۶].

مسئله را به حداقل برسانند. در انتخاب شرایط مرزی، بهترین حالت استفاده از شرایطی است که ابعاد حل مسئله را به

## مراجع

- Christopherson, K., R., *EM in the 21st Century – Looking for Oil, Gas and Water*, Chinook Geoconsulting, Inc., Woods Hole Oceanographic Institution, EM Workshop, 2002
- Key,K.W., Constable S. C., and Weiss, C. J., “Mapping 3D Salt Using 2D Marine Magnetotelluric Method, Case Study from Gemini Prospect, Gulf of Mexico”, *Geophysics*, Vol. 71, No. 1, pp. B17-B27, 2006.
- Shi, X., Utada, H., Wuhan W. J., Siripunvaraporn, W., and Wu, M. W., “Three Dimensional Magnetotelluric Forward Modeling using Vector Finite Element Method Combined with Divergence Corrections (VFE++)”, *IAGA WG 1.2 on Electromagnetic*

- Induction in the Earth Available at Proceedings of the 17th Workshop, Hyderabad, India,*
4. Wannamaker, P. E., Stodt, J. A., and Rijo, L., *PW2D, Finite Element Program for Solution of Magnetotelluric Responses of Two-Dimensional Earth Resistivity Structure*, Utah university, Earth Science laboratory, Revised Edition, June 1987.
  5. Hohmann, G., W., *Three-Dimensional EM Modeling, Geophysical Surveys*, Vol. 6, pp. 27-53, 1983.
  6. Makie, R. L., Madden T. R., "Three-Dimensional Magnetotelluric Modelling and Inversion," *Proceeding of the IEEE*, Vol. 77, No. 2, 1989.
  7. Makie R. L., Smith, J. T., and Madden T. R., "Three-Dimensional Electromagnetic Modeling Using Finite Difference Equation: the Magnetotelluric Example," *Radio Science*, Vol 29, No 4, pp 923-935, 1994.
  8. Queralt, P., Jones A. G., Lledo, j., "Electromagnetic Imaging of a Complex Ore Body: 3D Forward Modeling, Sensitivity Tests, and Down-Mine Measurements", *GEOPHYSICS*, Vol. 72, No. 2, pp. F85-F95, 2007.
  9. Smith, T. J., "Conservative Modeling of Electromagnetic Fields, Part I: Properties and Error Analysis," *Geophysics*, Vol. 61, No. 5, pp. 1308-1318, 1996.
  10. Oristaglio, M. L., and Hohmann, G. W., "Diffusion of Electromagnetic Fields into a two Dimensional Earth: a Finite Difference Approach," *Geophysics*, Vol. 49, No.7, pp. 870-894, 1984.
  11. ابطحی فروشانی، س. م.، "مدلسازی پیشرو سه بعدی داده‌های مگنتوتلوریک ژئوترمال سبلان،" پایان نامه کارشناسی ارشد، دانشگاه صنعتی اصفهان، ۱۳۸۷.
  12. تلفورد، دبلیو. ام.، "جلدارت، ال. پی، شریف ار. ای. کیز، دی. ای/ حاجب حسینیه، ح. و زمردان، ح.، "ژئوفیزیک کاربردی، چاپ دوم، انتشارات دانشگاه تهران، ۱۳۷۵.
  13. Simpson, F., and Bahr, K., *Practical magnetotelluric*, Cambridge University press, UK, 2005.
  14. Huebner, K. H., *The Finite Element Method for Engineers*, Wiley, 2<sup>nd</sup> edition, US, 1975.
  15. Sleijpen, G., L., G., and Fokkema, D., R., "BICGSTAB(L) FOR Linear Equations Involving Unsymmetric Matrices with Complex Spectrum", *Electronic Transactions on Numerical Analysis*, Vol. 1., pp. 11-32, 1993.
  16. Farquharson, C., Oldenburg D., Haber E., and Shekhtman, R., "An Algorithm for the Three-Dimensional Inversion of Magnetotelluric Data," presentation, Geophysical, Inversion Facility University of British Columbia, Vancouver

## پیوست

### روش گسته‌سازی نقطه‌ای

با توجه به رابطه (۳) روابط زیر را برای مؤلفه  $x$  میدان الکتریکی خواهیم داشت (بخش سمت چپ تساوی):

$\hat{i}$ :

$$\begin{aligned} & E_{s,i+2,j,k}^x C_1 + E_{s,i+1,j,k}^x C_2 + E_{s,i-1,j,k}^x C_3 + E_{s,i-2,j,k}^x C_4 + \\ & E_{s,i,j+2,k}^x C_5 + E_{s,i,j-2,k}^x C_6 + \\ & E_{s,i,j,k+2}^x C_7 + E_{s,i,j,k-2}^x C_8 + \\ & E_{s,i,j,k}^x C_9 + \\ & E_{s,i+1,j,k}^y C_{10} + E_{s,i,j,k}^y C_{11} + E_{s,i-1,j,k}^y C_{12} + \\ & E_{s,i+1,j,k}^z C_{13} + E_{s,i,j,k}^z C_{14} + E_{s,i-1,j,k}^z C_{15} = \end{aligned}$$

که در آن ضرایب یاد شده به صورت ذیل خواهند بود:

$$\begin{aligned} C_1 &= \left( \frac{1}{\Delta x_{i+2} + \Delta x_{i+1}} \right) \left( \frac{1}{\Delta x_{i+1} + \Delta x_i} \right) \\ C_2 &= \left( \frac{1}{\Delta x_{i+1} + \Delta x_i} \right) \frac{1}{\sigma_{i,j,k}} \left( \frac{\sigma_{i+1,j,k} - \sigma_{i-1,j,k}}{\Delta x_{i+1} + \Delta x_i} \right) \\ C_3 &= \left( \frac{-1}{\Delta x_{i+1} + \Delta x_i} \right) \frac{1}{\sigma_{i,j,k}} \left( \frac{\sigma_{i+1,j,k} - \sigma_{i-1,j,k}}{\Delta x_{i+1} + \Delta x_i} \right) \end{aligned}$$

$$C_4 = \left( \frac{1}{\Delta x_{i-1} + \Delta x_i} \right) \left( \frac{1}{\Delta x_{i+1} + \Delta x_i} \right)$$

$$C_5 = \left( \frac{1}{\Delta y_{j+2} + \Delta y_{j+1}} \right) \left( \frac{1}{\Delta y_{j+1} + \Delta y_j} \right)$$

$$C_6 = \left( \frac{1}{\Delta y_{j-1} + \Delta y_j} \right) \left( \frac{1}{\Delta y_{j+1} + \Delta y_j} \right)$$

$$C_8 = \left( \frac{1}{\Delta z_{k-1} + \Delta z_k} \right) \left( \frac{1}{\Delta z_{k+1} + \Delta z_k} \right)$$

$$C_7 = \left( \frac{1}{\Delta z_{k+2} + \Delta z_{k+1}} \right) \left( \frac{1}{\Delta z_{k+1} + \Delta z_k} \right)$$

$$c_9 = - (c_1 + c_4 + c_5 + c_6 + c_7 + c_8) + \left( \begin{array}{l} \left( \frac{\sigma_{i+2,j,k} - \sigma_{i,j,k}}{\Delta x_{i+2} + \Delta x_{i+1}} \right) - \left( \frac{\sigma_{i,j,k} - \sigma_{i-2,j,k}}{\Delta x_{i-1} + \Delta x_i} \right) \\ \Delta x_{i+1} + \Delta x_i \\ \left( \frac{\sigma_{i+1,j,k} - \sigma_{i-1,j,k}}{\Delta x_{i+1} + \Delta x_i} \right) \left( \frac{\sigma_{i+1,j,k} - \sigma_{i-1,j,k}}{\Delta x_{i+1} + \Delta x_i} \right) \end{array} \right) \times \frac{1}{\sigma_{i,j,k}^2} - j\omega\mu_0\sigma_{i,j,k}$$

$$c_{10} = \left( \frac{1}{\Delta x_{i+1} + \Delta x_i} \right) \frac{1}{\sigma_{i,j,k}} \left( \frac{\sigma_{i,j+1,k} - \sigma_{i,j-1,k}}{\Delta y_{j+1} + \Delta y_j} \right)$$

$$c_{11} = \left( \begin{array}{l} \left( \frac{\sigma_{i+1,j+1,k} - \sigma_{i+1,j-1,k}}{\Delta y_{j+1} + \Delta y_j} \right) - \left( \frac{\sigma_{i-1,j+1,k} - \sigma_{i-1,j-1,k}}{\Delta y_{j+1} + \Delta y_j} \right) \\ \Delta x_{i+1} + \Delta x_i \\ \left( \frac{\sigma_{i+1,j,k} - \sigma_{i-1,j,k}}{\Delta x_{i+1} + \Delta x_i} \right) \left( \frac{\sigma_{i,j+1,k} - \sigma_{i,j-1,k}}{\Delta y_{i+1} + \Delta y_i} \right) \end{array} \right) \times \frac{1}{\sigma_{i,j,k}^2}$$

$$c_{12} = \left( \frac{1}{\Delta x_{i+1} + \Delta x_i} \right) \frac{1}{\sigma_{i,j,k}} \left( \frac{\sigma_{i+1,j,k} - \sigma_{i,j-1,k}}{\Delta y_{j+1} + \Delta y_j} \right)$$

$$c_{13} = \left( \frac{1}{\Delta x_{i+1} + \Delta x_i} \right) \frac{1}{\sigma_{i,j,k}} \left( \frac{\sigma_{i,j,k+1} - \sigma_{i,j,k-1}}{\Delta z_{k+1} + \Delta z_k} \right)$$

$$c_{14} = \left( \begin{array}{l} \left( \frac{\sigma_{i+1,j,k+1} - \sigma_{i+1,j,k-1}}{\Delta z_{k+1} + \Delta z_k} \right) - \left( \frac{\sigma_{i-1,j,k+1} - \sigma_{i-1,j,k-1}}{\Delta z_{k+1} + \Delta z_k} \right) \\ \Delta x_{i+1} + \Delta x_i \\ \left( \frac{\sigma_{i+1,j,k} - \sigma_{i-1,j,k}}{\Delta x_{i+1} + \Delta x_i} \right) \left( \frac{\sigma_{i,j,k+1} - \sigma_{i,j,k-1}}{\Delta z_{k+1} + \Delta z_k} \right) \end{array} \right) \frac{1}{\sigma_{i,j,k}^2}$$

$$c_{15} = \left( \frac{-1}{\Delta x_{i+1} + \Delta x_i} \right) \frac{1}{\sigma_{i,j,k}} \left( \frac{\sigma_{i,j,k+1} - \sigma_{i,j,k-1}}{\Delta z_{k+1} + \Delta z_k} \right)$$